

## I MÉTHODES ÉLÉMENTAIRES

### 1 Primitives

a. Primitives usuelles ([GOU], p. 133)

Soit  $f$  continue et  $F$  une de ses primitives :  $\int_a^b f(x) dx = F(b) - F(a)$ .

$$\text{Ex 1: } \int_a^b \frac{1}{1+x^2} dx = [\arctan x]_a^b; \quad \int_a^b \frac{-1}{\sqrt{1-x^2}} dx = [\arccos x]_a^b.$$

b. Fractions rationnelles ([GOU], p. 133)

Décomposition en éléments simples pour se ramener à  $\int \frac{dx}{(x-a)^n}$  et à  $\int \frac{dx}{(x^2+c^2)^k}$  (si  $c^2-4d < 0$ ).

$$\text{Ex 2: } \int \frac{dx}{x(x^2+1)^2} = \int \left( \frac{1}{x} - \frac{x}{x^2+1} - \frac{x}{(x^2+1)^2} \right) dx = \ln|x| - \frac{1}{2} \ln(x^2+1) + \frac{1}{2} \cdot \frac{1}{1+x^2} + k$$

c. Polynômes en sinus et cosinus ([GOU], p. 135)

On veut calculer  $\int \sin^m(x) \cos^n(x) dx$  où  $m, n \in \mathbb{N}$ .

Si  $m$  et  $n$  sont pairs : linéarisation; sinon : changement de variable.

$$\text{Ex 3: } \int \cos^4(x) \sin^2(x) dx = \int \cos^4(x) (1 - \cos^2(x)) dx = \int \cos^4(x) dx - \int \cos^6(x) dx \\ \text{où } \cos^4(x) = \left(\frac{e^{ix} + e^{-ix}}{2}\right)^4 = \frac{1}{8} \left( \frac{e^{4ix} + e^{-4ix}}{2} + 4 \frac{e^{2ix} + e^{-2ix}}{2} + 3 \right) \\ = \frac{\cos 4x}{8} + \frac{\cos 2x}{2} + \frac{3}{8}.$$

### 2 Intégration par parties

$$\int_a^b u' v = [uv]_a^b - \int_a^b uv'$$

$$\text{Ex 4: Intégrales de Wallis: } W_n = \int_0^{\pi/2} \sin^n(x) dx = W_{n-2} - \frac{1}{n-1} W_n.$$

$$\text{Ex 5: Fonction Gamma d'Euler: } I(n+1) = \int_0^\infty t^n e^{-t} dt = n!$$

### 3 Changement de variable

Prop 6: Si  $\varphi$  est un  $C^1$ -difféomorphisme pour une variable,

$$\int_a^b f(\varphi(t)) \varphi'(t) dt = \int_{\varphi(a)}^{\varphi(b)} f(u) du$$

Ex 7: Règles de bricolage pour fractions rationnelles en  $\cos(x)$  et  $\sin(x)$ .

Étude des invariances de  $R(\cos x, \sin x) dx$ : ([GOU], p. 135)

- Si invariance  $x \rightarrow -x$ , on pose  $t = \cos x$
- $x \rightarrow \pi - x$ ,  $t = \sin x$
- $x \rightarrow \pi + x$ ,  $t = \tan x$

$$\text{Ex 8: } \int \frac{\sin^3 x}{1+\cos^2 x} dx \xrightarrow{t=\cos x} \int \frac{1-t^2}{1+t^2} (-dt) = t - 2 \arctan t + k \\ \hookrightarrow \cos x - 2 \arctan(\cos x) + k \in \mathbb{R}$$

Prop 9: Pour une fonction de plusieurs variables:

Si  $\varphi: U \rightarrow \mathbb{R}^n$   $C^1$ -difféomorphisme,  $\int_V f(v) dv = \int_U f(\varphi(u)) |\det J_\varphi(u)| du$   
 $V = \varphi(U)$  où  $J_\varphi(u) = \det \left( \frac{\partial \varphi_i}{\partial x_j}(u) \right)_{1 \leq i, j \leq n}$ .

App 10: Coordonnées cartésiennes  $\leftrightarrow$  polaires

Si  $\Delta$  représente  $\mathbb{D}$  en coordonnées polaires :

$$\iint_D f(x,y) dx dy = \int_0^\pi \int_0^r f(r \cos \theta, r \sin \theta) r dr d\theta.$$

App 11: Volume de la boule euclidienne de  $\mathbb{R}^d$  ([BP], p. 246)

$$\bullet \text{ Si } d \text{ est pair, } V_d = \frac{\pi^{d/2}}{(d/2)!}$$

$$\bullet \text{ Si } d \text{ est impair, } V_d = \frac{2^d \pi^{(d-1)/2} (d/2)!}{d!}.$$

Thm 12: Fubini ([GOU], p. 333)

Sous certaines conditions  $\iint f(x,y) dx dy = \int (\int f(x,y) dx) dy = \int (\int f(x,y) dy) dx$   
 $(\hookrightarrow \text{par exemple sur } P \times Q \text{ où } P \text{ et } Q \text{ sont compacts de } \mathbb{R}^p \text{ et } \mathbb{R}^q)$

Ex 13: Intégrale de Gauss:  $\int_{-\infty}^{+\infty} e^{-x^2} dx = \sqrt{\pi}$

Pour  $a > 0$ ,  $D_a := \{(x,y) \in \mathbb{R}^2 \mid x^2 + y^2 \leq a^2\}$  et  $C_a := [-a, +a]^2$ .

$$I_a = \iint_{D_a} e^{-(x^2+y^2)} dx dy = \pi(1 - e^{-a^2})$$

$$J_a = \iint_{C_a} e^{-(x^2+y^2)} dx dy = \left( \int_{-a}^a e^{-x^2} dx \right)^2 \quad \left. \begin{array}{l} I_a \leq J_a \leq I \\ \text{puis } a \rightarrow +\infty \end{array} \right.$$

## II MÉTHODES ALTERNATIVES

### 1 Pour des suites et séries de fonctions

Thm 14: Convergence dominée ([GOU], p. 147)

Si  $(f_n)_n$  continues par morceaux et dominées par  $\varphi$ , intégrable, continue par morceaux,

Et si  $(f_n)$  converge simplement vers  $f$ , continue par morceaux,

Alors les  $(f_n)$  et  $f$  sont intégrables et  $\int_I f = \lim_{n \rightarrow \infty} \int_I f_n$ .

App 15: Continuité de la transformée de Fourier

$$\text{Si } y_n \xrightarrow{n \rightarrow \infty} y, \text{ alors } \hat{f}(y_n) = \int_{\mathbb{R}} f(x) e^{-ixy_n} dx \xrightarrow{n \rightarrow \infty} \int_{\mathbb{R}} f(x) e^{-ixy} dx = \hat{f}(y)$$

App 16: Intégrale de Fresnel

$$\int_0^\infty e^{ix^2} dx = \frac{\sqrt{\pi}}{2} e^{i\pi/4} \quad \left. \begin{array}{l} \text{DÉVELOPPEMENT} \\ \text{N°1} \end{array} \right. \quad ([GOU], p. 342)$$

Thm 17:

Soit  $\sum_{n \geq 0} f_n$  une série de fonctions intégrables continues par morceaux.  
Si  $\sum_{n \geq 0} f_n$  converge simplement vers  $S$  continue par morceaux  
Et si  $\sum_{n \geq 0} \int_I |f_n|$  converge

Alors  $S$  est intégrable et  $\int_I S = \sum_{n \geq 0} \int_I f_n$ .

Ex 18: On a:  $\int_0^\infty \frac{e^{-x}}{1-e^{-x}} x^2 dx = 2 \sum_{n=1}^{\infty} \frac{1}{n^3}$ , via  $\sum_{n \geq 1} e^{-nx} x^2$ .

## 2 Sommes de Riemann ([GOU], p. 124-125)

Déf 19:

Soit  $f$  bornée sur  $[a, b]$ ;  $a = t_0 < t_1 < \dots < t_n = b$  une subdivision;

$$\forall i \in [1, n], \quad \xi_i \in [t_{i-1}, t_i].$$

$$S(f, \tau, \xi) := \sum_{i=1}^n (t_i - t_{i-1}) f(\xi_i); \text{ pas de } \tau: |\tau| = \sup_{1 \leq i \leq n} |t_i - t_{i-1}|.$$

Thm 20:

Soit  $f$  continue sur  $[a, b]$ .

$\forall \epsilon > 0, \exists \alpha > 0, \forall \tau$  subdivision de  $[a, b]$ ,  $\forall \xi$ ,

$$|\tau| < \alpha \Rightarrow \left| \int_a^b f(x) dx - S(f, \tau, \xi) \right| < \epsilon.$$

En particulier,  $\lim_{n \rightarrow \infty} \frac{b-a}{n} \sum_{i=1}^n f(a + i \frac{b-a}{n}) = \int_a^b f(x) dx$ .

Ex 21:  $I(p) := \int_0^{\pi} \ln(1-2p \cos \theta + p^2) d\theta = \lim_{n \rightarrow \infty} u_n$ , ([GOU], p. 179)

$$\text{avec } u_n = \frac{\pi}{n} \ln \left( \prod_{k=1}^n (1 - 2p \cos(\frac{k\pi}{n}) + p^2) \right) \text{ et où } p \in \mathbb{R} \setminus \{-1, +1\}.$$

## 3 Régularité des intégrales à paramètre ([GOU], p. 157, 164)

Thm 22:

Si  $f(x, \cdot)$  est continue par morceaux,

Si  $f(\cdot, t)$  est continue,

Et si  $|f(x, t)| \leq \varphi(t)$  avec  $\varphi$  intégrable continue par morceaux

Alors  $x \mapsto \int_I f(x, t) dt$  est continue.

Thm 23:

Si  $f(x, \cdot)$  est continue par morceaux et intégrable,

Et si  $\frac{\partial f}{\partial x}$  vérifie les hypothèses du thm 22,

Alors  $\Phi: x \mapsto \int_I f(x, t) dt$  est  $C^1$ ,

Et  $\Phi'(x) = \int_I \frac{\partial f}{\partial x}(x, t) dt$

Ex 24:  $I(x) = \int_0^\infty \frac{\sin(xt)}{t} e^t dt$  est  $C^1$

$$I'(x) = \frac{1}{1+x^2} \text{ donc } I(x) = I(0) + \arctan x = \arctan x$$

Ex 25: Transformée de Fourier de la gaussienne

$$\text{On cherche } \hat{f}(t) = \int_{\mathbb{R}} e^{ita} e^{-x^2} dx.$$

$$\hat{f}$$
 est  $C^2$  et  $\hat{f}'(t) = -\frac{t}{2} \hat{f}(t)$

$$\text{Donc } \hat{f}(t) = \hat{f}(0) \exp(-t^2/4) = \sqrt{\pi} \exp(-t^2/4).$$

## 4 Analyse complexe ([OA], p. 67)

Déf 26: Indice d'un point  $p$  par rapport

à un lacet  $\gamma$  ne passant pas par  $p$ :

$$I(\gamma, p) = \frac{1}{2\pi i} \int_{\gamma} \frac{dz}{z-p}.$$

Thm 27: Théorème des résidus

Soit  $f$  holomorphe sur  $\Omega = \mathbb{C} \setminus \{a_1, \dots, a_r\}$ .

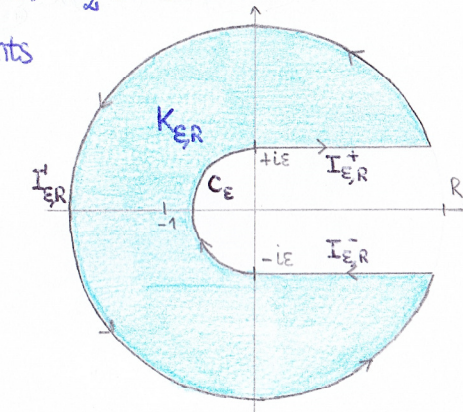
Soit  $\gamma$  un chemin continu fermé dans  $\Omega$  tel que  $I(\gamma, z) = 0$  pour tout  $z \notin \Omega$ ;

$$\text{On a: } \frac{1}{2\pi i} \int_{\gamma} f(z) dz = \sum_{i=1}^r I(\gamma, a_i) \operatorname{Res}(f, a_i).$$

Ex 28: On cherche  $I(x) := \int_0^\infty \frac{\cos(zt)}{1+t^2} dt$  ([AM], p. 248-249)

$$\text{Pour } x > 0, \text{ on a: } I(x) = \frac{1}{2} \operatorname{Re} \left( \int_{-\infty}^{+\infty} \frac{e^{ixt}}{1+t^2} dt \right)$$

On intègre  $z \mapsto \frac{e^{izt}}{1+z^2}$  le long du demi-cercle supérieur centré en 0, de rayon  $R$ .  
Le thm des résidus donne:  $I(x) = \frac{\pi}{2} e^{-|x|}$ .



App 29: Formule des compléments

On a: pour  $0 < \operatorname{Re}(z) < 1$ ,

$$I(z) I(1-z) = \frac{\pi}{\sin \pi z}$$

## † DÉVELOPPEMENT N°2

([AM], p. 249)

### III CALCUL APPROCHÉ D'INTÉGRALES

#### 1 Méthodes des rectangles

Soit  $f: [a,b] \rightarrow \mathbb{R}$  continue ;  $a = \alpha_0 < \alpha_1 < \dots < \alpha_n = b$ .

Motivation: Chasles  $\int_a^b f(x) dx = \sum_{i=0}^n \int_{\alpha_i}^{\alpha_{i+1}} f(x) dx$ .

On parle de méthode des rectangles :

$$* \text{ à gauche : } \int_a^b f(x) dx \approx \sum_{i=0}^{n-1} (\alpha_{i+1} - \alpha_i) f(\alpha_i)$$

$$* \text{ à droite : } \int_a^b f(x) dx \approx \sum_{i=0}^{n-1} (\alpha_{i+1} - \alpha_i) f(\alpha_{i+1})$$

Dans le cas où les variations de  $f$  sont connues, ces méthodes donnent un encadrement de  $\int_a^b f(x) dx$ .

On parle aussi de méthode du point milieu :

$$\int_a^b f(x) dx \approx \sum_{i=0}^{n-1} (\alpha_{i+1} - \alpha_i) f\left(\frac{\alpha_i + \alpha_{i+1}}{2}\right).$$

#### 2 Méthode de quadrature de Gauss ([ROM], p.338-346)

Soit  $\pi$  une fonction poids sur  $[a,b]$ , on cherche  $(\lambda_{n,k})$  et  $(x_{n,k})$  tels que :

$$\forall n \geq 1, \forall P \in \mathbb{R}_{2n-1}[X], \quad \int_a^b P(x) \pi(x) dx = \sum_{k=1}^n \lambda_{n,k} P(x_{n,k}).$$

On note  $(P_n)$  la suite de polynômes orthogonaux associés à  $\pi$ , avec  $\deg P_n = n$ . On note  $P_n = \sum_{k=0}^n a_k^{(n)} x^k$ , et  $a_n^{(n)} > 0$ .

Lemme 30:

De tels coefficients  $(\lambda_{n,k})_k$  existent  $\Leftrightarrow$  les  $(x_{n,k})_k$  sont les  $n$  racines du polynôme  $P_n$ .

Dans ce cas, on a de plus unicité.

On peut alors approximer :

$$\int_a^b f(x) \pi(x) dx \approx \sum_{k=1}^n \lambda_{n,k} f(x_{n,k}).$$

On peut majorer l'erreur :

$$|E_n(f)| = \left| \int_a^b f(x) \pi(x) dx - \sum_{k=1}^n \lambda_{n,k} f(x_{n,k}) \right| \leq \frac{\|f^{(2)}\|_\infty}{(2n)! (a_n^{(n)})^2}$$

#### 3 Méthode de Monte-Carlo ([PT], p.78)

On veut calculer  $I = \int f(x) g(x) dx$  où  $f \geq 0$  et  $\int f(x) dx = 1$ .

Si  $Y$  est une va de densité  $f$ , on a:  $E[g(Y)] = I$ .

Soient  $Y_1, \dots, Y_n$  des v.a.i.d de même loi que  $Y$ .

$$\text{On a: } I \approx \frac{1}{n} \sum_{i=1}^n g(Y_i).$$

En effet, si  $Y \in L^2$ , on a:

$$\frac{\sqrt{n} \left( \frac{1}{n} \sum_{i=1}^n g(Y_i) - E[g(Y)] \right)}{\sqrt{\frac{1}{n-1} \sum_{i=1}^n (g(Y_i) - \frac{1}{n} \sum_{k=1}^n g(Y_k))^2}} \xrightarrow[n \rightarrow \infty]{\mathcal{D}} \mathcal{N}(0,1).$$

Estimateur de  $\sqrt{\text{Var}(g(Y))}$  noté  $\Sigma_n$

Ceci permet de déduire un intervalle de confiance asymptotique :

Pour  $n$  "assez grand", on a:

$$P \left( \left| \frac{1}{n} \sum_{i=1}^n g(Y_i) - E[g(Y)] \right| \leq \frac{1,96 \Sigma_n}{\sqrt{n}} \right) \approx 0,95.$$

[GOO]: Gourdon, Analyse (2<sup>e</sup> édition)

[BP]: Briane Pagès, Théorie de l'intégration (3<sup>e</sup> édition)

[OA]: Beck Malick Peyré, Objectif Agrégation (2<sup>e</sup> édition)

[AM]: Amar Matheron, Analyse Complexe

[ROM]: Rombaldi, Interpolation & Approximation

[PT]: Paul S. Toulouze, Thèmes de probabilités et statistique